

О модификации алгоритма Фосса при моделировании внутренней структуры пористой среды

© В.В. Шитов, П.В. Москалев

Международный институт компьютерных технологий,
394026 Воронеж, Россия
e-mail: moskaleff@mail.ru

(Поступило в Редакцию 25 февраля 2004 г.)

Рассматривается практическое применение модификации алгоритма случайных сложений Фосса для моделирования стохастической фрактальной функции, описывающей распределение характеристик системы капилляров в локально-неоднородной пористой среде, с учетом данных порометрических испытаний. Анализируется влияние вида функций дисперсии и численности пор на характер распределения эквивалентного диаметра капилляров в заданной области.

Широкий диапазон структурных и теплофизических свойств порошковых пористых материалов, сравнительная простота технологии изготовления из них деталей сложной формы, развитая внутренняя поверхность и высокая интенсивность теплообмена — все это дает возможность использовать капиллярно-пористые структуры в самых разнообразных условиях.

Для создания физически корректных методов теплового и гидравлического моделирования устройств с пористыми элементами необходимо обладать достоверной информацией о внутренней структуре и характере процессов переноса массы и энергии в проникаемых материалах.

Важным этапом на пути практического решения указанной задачи является создание эффективного алгоритма для моделирования распределения эквивалентного диаметра (равно как и любой другой характеристики пористой среды) по ее обобщенным характеристикам в заданной области.

Заметим, что в ряде публикаций, рассматривающих структуру капиллярно-пористых материалов, речь идет о характерных размерах пористой среды [1,2]. Однако при рассмотрении динамики движения жидкостей и газов во внутренних каналах порового пространства следует учитывать неравномерность размеров и профиля скоростей в поперечном сечении канала, а также эффекты уменьшения действительного сечения канала за счет местного отрыва потока от стенок. В связи с этим представляется уместным применение термина эквивалентного диаметра (по аналогии с каналами некруглого сечения), получившего распространение в прикладной гидродинамике [3].

В настоящее время имеются веские основания считать, что значительная часть локально-неоднородных проникаемых структур обладает свойствами стохастического самоподобия в некотором диапазоне характерных масштабов [4].

Одной из наиболее эффективных процедур для формирования пространственного распределения с фрактальными характеристиками является обобщение алгоритма

случайных сложений, впервые предложенного Р. Фоссом в 1985 г. на Берлинской конференции по фундаментальным алгоритмам компьютерной графики [5].

Базовый вариант алгоритма Фосса представляет собой рекурсивную последовательность сложений начальных значений некоторой псевдослучайной функции d_{i-1} с дополнительными приращениями Δd_i , подчиняющимися несмещенному нормальному закону распределения с заданным показателем среднеквадратического отклонения σ_i . Изменение числа точек определяется величиной некоторого коэффициента разбиения

$$r = \Delta l_i / \Delta l_{i-1}, \quad (1)$$

где $\Delta l_i, \Delta l_{i-1}$ — приращения по независимой переменной для двух последовательных поколений фрактальной кривой. В случае построения одномерной кривой Фосса необходимо потребовать, чтобы дисперсия приращений по зависимой переменной подчинялась соотношению

$$\sigma^2(d_i) = r^{2H} \cdot \sigma^2(d_{i-1}), \quad (2)$$

где $\sigma^2(d_i)$ — дисперсия приращений по зависимой переменной для i -го поколения последовательности случайных сложений; H — показатель Херста, в общем случае принадлежащий открытому интервалу $H \in (0; 1)$.

Заметим, что при алгоритмической реализации описанной процедуры для каждого элемента множества значений функции текущего поколения удобно использовать рекурсивное представление в виде нормально распределенного псевдослучайного числа с математически ожидаемым, равным значению функции предыдущего поколения, и дисперсией, определяемой в соответствии с (2).

Число точек определения фрактальной функции от поколения к поколению также имеет рекурсивное представление с учетом коэффициента разбиения (1) в виде

$$H(d_i) = r \cdot N(d_{i-1}). \quad (3)$$

Дополним систему уравнений (2) и (3) выражением для определения безразмерного пространственного раз-

решения $\delta(d_i)$, нормированного по амплитудным значениям переменной d_i ,

$$\delta(d_i) = (d_b - d_i)/(d_b - d_a), \quad (4)$$

где d_a, d_b — минимальная и максимальная величины в области значений независимой переменной d_i .

Независимое решение уравнений (2) и (3) с учетом выражения для показателя пространственного разрешения (4) показывает (рис. 1, *a*), что классическая реализация алгоритма Фосса предполагает монотонное

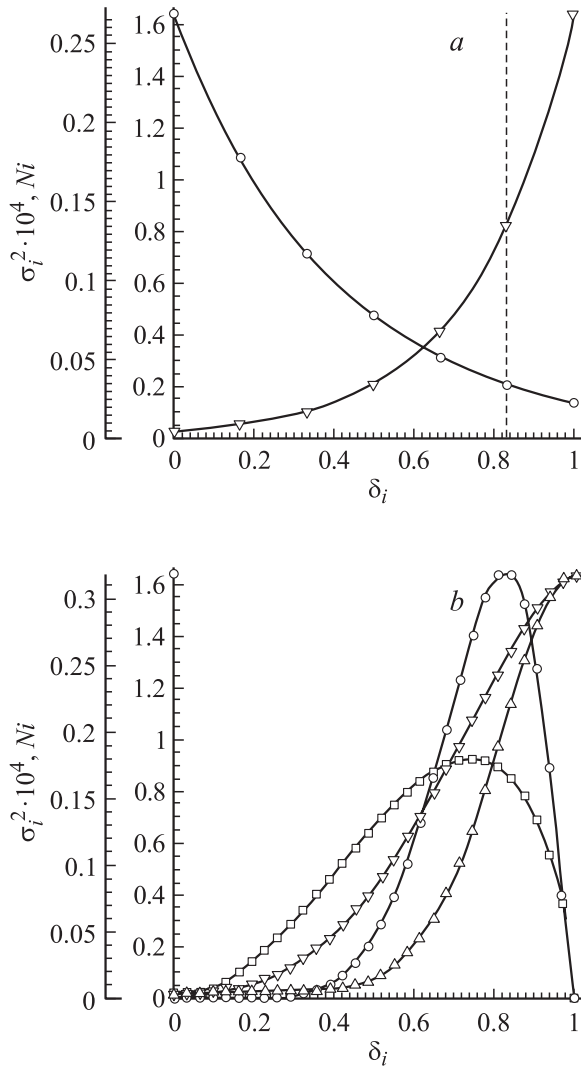


Рис. 1. Функции распределения показателей σ_i^2 и N_i в зависимости от текущего пространственного разрешения δ_i при реализации стандартного (*a*) и модифицированного (*b*) алгоритма случайных сложений Фосса. \circ — или \square — — зависимости для $\sigma^2(d_i)$, \triangle — или ∇ — — зависимости для $N(d_i)$. Значения основных показателей для рассматриваемых распределений: *a* — $\delta(d_a) = 1.000$, $\delta(d_a)' = 0.833$; \circ — — $H = 0.600$, $\sigma^2(d_b) = 0.268$; ∇ — — $r = 0.500$, $N(d_a) = 1.638 \cdot 10^4$, $N(d_a)' = 0.410 \cdot 10^4$; *b* — \circ — — $\alpha_\sigma = 8.0$, $\beta_\sigma = 2.5$, $(\sigma^2)_{\max} = 0.320$, \square — — $\alpha_\sigma = 3.0$, $\beta_\sigma = 1.7$, $(\sigma^2)_{\max} = 0.181$; \triangle — — $\alpha_N = 8.0$, $\beta_N = 2.5$, $N(d_a) = 1.638 \cdot 10^4$; ∇ — — $\alpha_N = 3.0$, $\beta_N = 1.7$, $N(d_a) = 1.638 \cdot 10^4$.

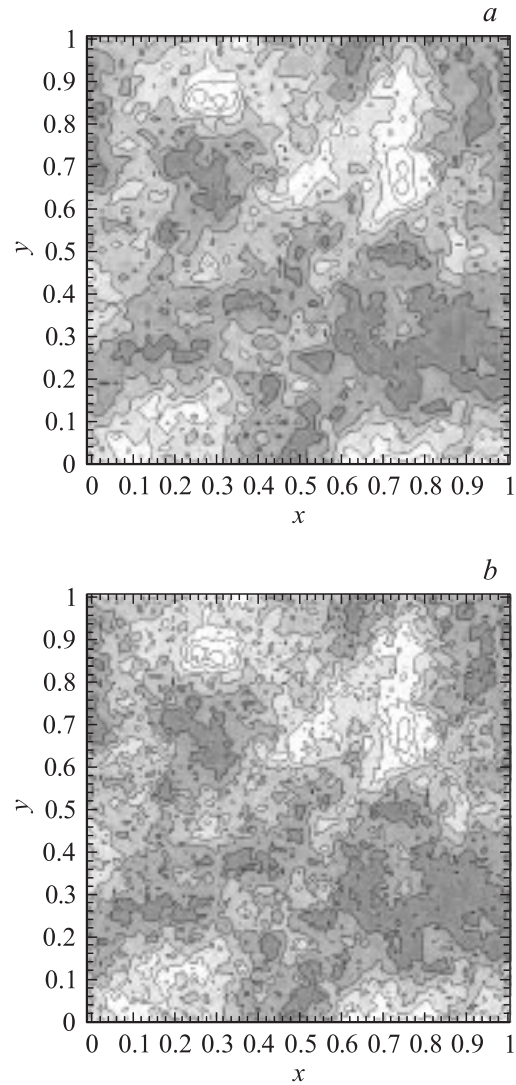


Рис. 2. Две реализации стандартного алгоритма случайных сложений Фосса для стохастической фрактальной функции $d(x, y)$, описывающей распределение эквивалентного гидравлического диаметра порового пространства локальнонеоднородной пористой среды. Значения основных показателей для рассматриваемых реализаций: $r = 0.500$, $H = 0.600$, *a* — $\sigma^2(d_b) = 0.268$, $\delta(d_a) = 0.833$, $N(d_a) = 0.410 \cdot 10^4$; *b* — $\sigma^2(d_b) = 0.268$, $\delta(d_a) = 1.000$, $N(d_a) = 1.638 \cdot 10^4$.

увеличение числа точек $N(d_i)$ в каждом следующем поколении стохастической фрактальной функции d_i при аналогичном уменьшении дисперсии $\sigma^2(d_i)$ ее дополнительных амплитудных значений Δd_i .

В дополнение к сказанному заметим, что описанный выше алгоритм случайных сложений допускает вполне тривиальное обобщение на случай построения фрактальной функции от двух и более независимых переменных.

Примеры реализаций такой функции для двух уровней максимального пространственного разрешения $\delta(d_a) = 0.833, 1.000$ при постоянных значениях остальных показателей приведены на рис. 2. Реализация (*a*) соответствует меньшему, а реализация (*b*) — больше-

му уровню максимального пространственного разрешения $\delta(d_a)$. Минимальное значение пространственного разрешения для всех реализаций сохранялось постоянным $\delta(d_b) = \text{const}$.

При моделировании проницаемой структуры порошковых пористых материалов с заранее заданным фракционным составом это означает, что в первом случае из исходного материала исключаются частицы наиболее мелких фракций.

Начальное состояние функции, производящей псевдослучайную числовую последовательность, от которой зависит локальное распределение дополнительных приращений искомой функции Δd_i , во всех случаях устанавливалось идентичным.

Однако при использовании данного алгоритма в практических задачах, предполагающих моделирование пространственной структуры локально неоднородных капиллярных сетей, следует учитывать характер распределения показателей $\sigma^2(d_i)$ и $N(d_i)$ на различных уровнях пространственного разрешения в реальных пористых материалах.

Анализ данных экспериментальных исследований структурных характеристик, реально используемых в машиностроении пористых материалов, показывает [2,6], что поведение функций дисперсии и плотности эквивалентного диаметра капилляра отличается от показанного на рис. 1, а.

Типичное распределение эквивалентного диаметра пор в реальных порошковых пористых материалах показано на рис. 3. При формировании исследуемых образцов были использованы оловянно-фосфористая литейная бронза БрОФ10-1 (по ОСТ 1.90054-72) (а), нержавеющая сталь 12Х18Н10Т (по ГОСТ 5632-72) (б). Приведенные экспериментальные кривые были получены методом инвазивной ртутной порометрии в МВТУ им. Н.Э. Баумана [6].

По результатам испытаний распределение объемной пористости в зависимости от эквивалентного диаметра пор для всех фракций не мельче текущей определяется выражением

$$\Pi(d_i) = \frac{\sum_{k=i}^n \Delta V_k}{V_0}, \quad (5)$$

где ΔV_k — приращение суммарного объема пор за счет текущей фракции пористого материала d_i при последовательном увеличении давления подаваемой ртути, V_0 — полный объем образца исследуемого пористого материала.

На рис. 3 $-\nabla-$ — интегральная зависимость общей численности пор $N(d_i)$ для всех фракций не мельче текущей от их эквивалентного диаметра. Данная кривая построена на основе экспериментальной зависимости $\Pi(d_i)$ при наличии следующих допущений: а) размер пор в пределах каждой фракции постоянен и равен среднему эквивалентному диаметру для данной фракции, б) все поры имеют сферическую форму и могут пересекаться между собой, в) доля исключенного объема при

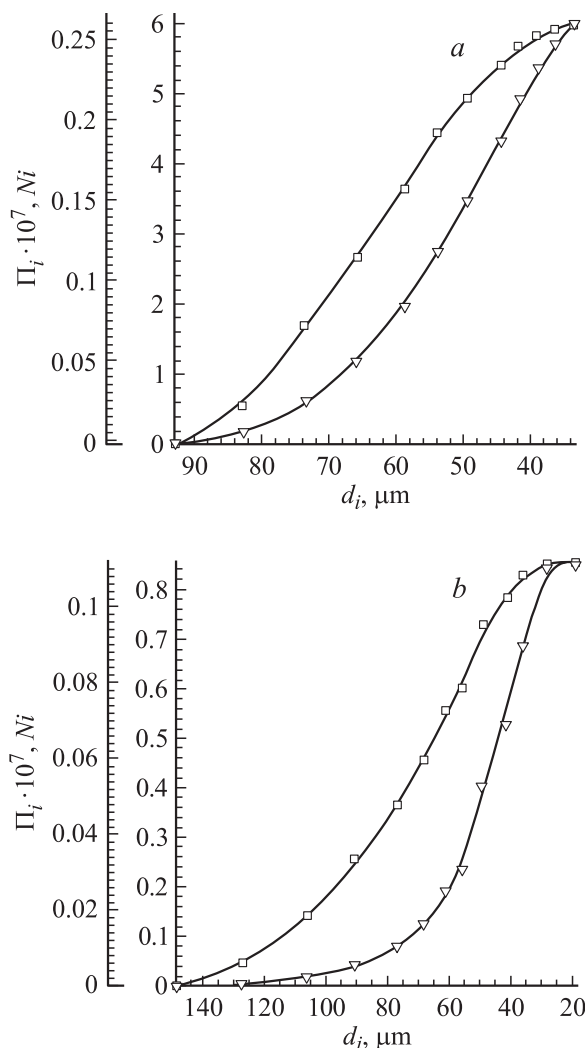


Рис. 3. Интегральные функции распределения объемной пористости Π_i и численности пор N_i для основных фракций в зависимости от среднего эквивалентного диаметра d_i . $-\square-$ — зависимости $\Pi(d_i)$, $-\nabla-$ — зависимости $N(d_i)$. Значения основных показателей для исследуемых образцов: а — пористая бронза $d_0 = 25$ mm, $h_0 = 20$ mm, $\Pi_0 = 0.260$, $N_0 = 6.067 \cdot 10^7$; б — пористая нержавеющая сталь $d_0 = 20$ mm, $h_0 = 10$ mm, $\Pi_0 = 0.111$, $N_0 = 0.858 \cdot 10^7$.

взаимопересечении двух пор составляет не менее 1/2 от наименьшей из них.

В этом случае нижняя оценка численности пор для каждой фракции определяется долей порового пространства ΔV_i , занимаемого этой фракцией, в виде

$$N(d_i) = 2 \frac{\Delta V_i \cdot 6}{\pi \cdot d_i^3}. \quad (6)$$

Сравнительный анализ функций распределения $N(d_i)$, полученных в результате совместного решения уравнений (5) и (6), показывает, что наилучшую аппроксимацию экспериментальных кривых обеспечивает семейство

интегральных функций бета-распределения [7]

$$N(d_i) = \frac{1}{B(\alpha, \beta)} \int_{d_a}^{d_i} (d_i)^{\alpha-1} (1-d_i)^{\beta-1} d(d_i), \quad (7)$$

где α, β — параметры распределения; $B(\alpha, \beta)$ — бета-функция, определяемая интегральным соотношением

$$B(\alpha, \beta) = \int_0^1 (t)^{\alpha-1} (1-t)^{\beta-1} dt, \quad (8)$$

где t — переменная интегрирования, такая что

$$t = \frac{d_x - d_a}{d_b - d_a}.$$

Примеры аппроксимации функций распределения численности пор от их эквивалентного диаметра $N(d_i)$ с помощью соотношений (7) и (8) приведены на рис. 1, *b*.

При моделировании распределения дисперсии по уровням пространственного разрешения использовано соотношение, описывающее дифференциальную функцию бета-распределения,

$$\sigma^2(d_i) = \frac{1}{B(\alpha, \beta)} (d_i)^{\alpha-1} (1-d_i)^{\beta-1} I(d_i), \quad (9)$$

где $I(d_i)$ — индикатор события $\{d_i < d_x\}$, определяемый как кусочно-постоянная функция,

$$I(d_i) = \begin{cases} 1, & d_i < d_x, \\ 0, & d_i \geq d_x. \end{cases}$$

Коэффициенты распределения $\sigma^2(d_i)$ для всех рассматриваемых случаев были приняты идентичными распределению $N(d_i)$: $\alpha_\sigma = \alpha_N$, $\beta_\sigma = \beta_N$. Подобный выбор означает, что график функции σ_i^2 будет иметь асимметричную форму с максимумом в области максимального градиента функции N_i (рис. 1, *b*), что удовлетворительно согласуется с экспериментальными кривыми дифференциального распределения пор по эквивалентным размерам в исследуемых материалах [6].

Примеры двух реализаций модифицированного алгоритма Фосса с применением функций распределения показателей N_i и σ_i^2 в форме (7) и (9) показаны на рис. 4. Структурные характеристики указанных реализаций соответствуют параметрам реальных образцов: *a* — пористой бронзы, *b* — пористой нержавеющей стали. Исключение составляет только суммарная численность эквивалентных пор N_0 , формирующих капиллярную структуру в исследуемых образцах.

Общее число пор в реальных пористых материалах чрезвычайно велико. С учетом принятых ранее допущений оно определяется по результатам порометрических испытаний как интегральная сумма численности пор по всем выделенным фракциям: *a*) для цилиндрического

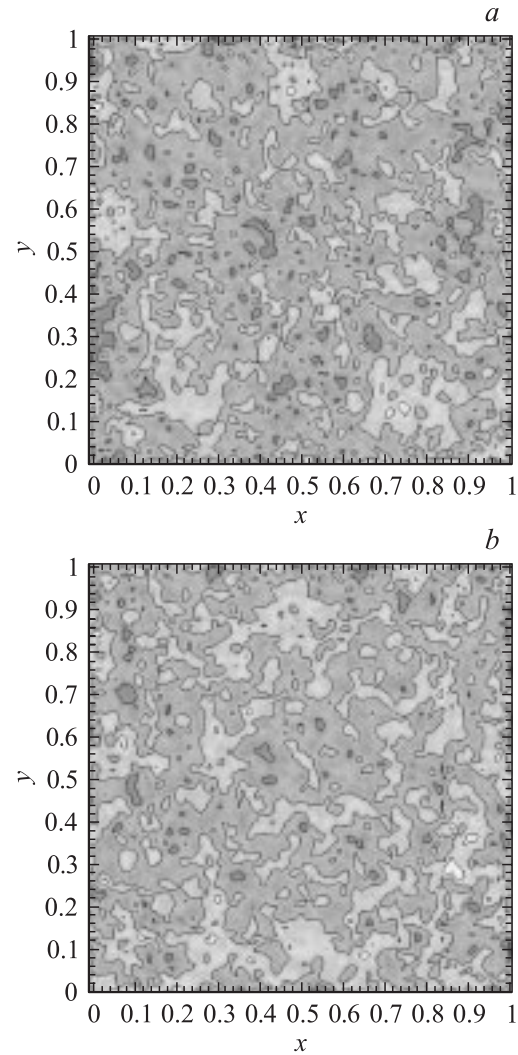


Рис. 4. Две реализации модифицированного алгоритма случайных сложений Фосса для стохастической фрактальной функции $d(x, y)$, описывающей распределение эквивалентного гидравлического диаметра порового пространства локальнонеоднородной пористой среды. Законы распределения основных показателей для рассматриваемых реализаций по уровням пространственного разрешения показаны на рис. 1, *b*. Приведенные реализации имеют структурные характеристики, соответствующие образцам (рис. 3) пористой бронзы $\alpha_\sigma = \alpha_N = 3.0$, $\beta_\sigma = \beta_N = 1.7$ (*a*); пористой нержавеющей стали $\alpha_\sigma = \alpha_N = 8.0$, $\beta_\sigma = \beta_N = 2.5$ (*b*).

образца из пористой бронзы при характерных размерах $d_0 = 25$ mm, $h_0 = 20$ mm и объемной пористости $P_0 = 0.260$ нижняя оценка для численности пор в образце составляет $N_0 = 6.067 \cdot 10^7$; *b*) для образца из пористой нержавеющей стали при $d_0 = 20$ mm, $h_0 = 10$ mm, $P_0 = 0.111$, $N_0 = 0.858 \cdot 10^7$.

При моделировании капиллярной системы пористого тела с использованием алгоритма Фосса предельная размерность расчетной сетки по соображениям трудоемкости расчетов была ограничена величиной $N'_0 = (128)^2 = 1.638 \cdot 10^4$.

Практически подобное ограничение означает уменьшение линейных размеров моделируемой области, в двумерном случае пропорциональное отношению

$$\mu_0 = \frac{l'_0}{l_0} = \sqrt{\frac{N'_0}{N_0}}, \quad (10)$$

где l'_0, l_0 — характерный линейный размер исследуемой области при моделировании и в экспериментах.

Решение уравнения (10) относительно неизвестной величины l'_0 дает нам нижние оценки для характерных линейных размеров областей, показанных на рис. 4: a — для модели пористой бронзы при $l_0 = d_0 = 25$ mm, $l'_0 = 0.411$ mm; b — для модели пористой нержавеющей стали при $l_0 = d_0 = 20$ mm, $l'_0 = 0.874$ mm.

Сравнительный анализ результатов моделирования с применением стандартного и модифицированного алгоритмов Фосса показывает, что учет особенностей поведения структурных показателей, характерных для реальных капиллярно-пористых материалов, на различных уровнях пространственного масштаба в модифицированном алгоритме приводит к существенному изменению в структуре получаемой системы капилляров: а) малая величина и медленный рост показателя σ_i^2 в интервале малых значений пространственного разрешения δ_i создает более равномерное стохастическое распределение эквивалентного диаметра за счет снижения доли наиболее крупных фракций и смещения основных флуктуаций функции $d(x, y)$ в область средних масштабов; б) интенсивное падение показателя σ_i^2 в области высоких значений пространственного разрешения δ_i существенно повышает „гладкость“ стохастической функции $d(x, y)$ в связи с уменьшением вклада самых мелких фракций в результирующее распределение эквивалентного диаметра.

Заключение

В заключение следует отметить, что предлагаемая модификация алгоритма Фосса обладает весьма высокой гибкостью, чрезвычайно важной в прикладных исследованиях. Применение бета-функций для моделирования дифференциальных и интегральных законов распределения позволяет воспроизводить на ограниченном интервале определения практическое большинство гладких функций. Кроме того, нет никаких ограничений для задания указанных функций в табличной форме (например, исходя из эмпирических данных) с последующей интерполяцией недостающих значений по опорным точкам. При этом на методы интерполяции никаких особых ограничений не накладывается. Как показано в настоящей работе, исследуемая пористая структура может быть воспроизведена с требуемой степенью детализации по данным порометрических испытаний. Благодаря рекурсивной структуре предлагаемый алгоритм порождает стохастически самоподобные реализации многомерной фрактальной функции с заданными

характеристиками в выделенной области пространства независимых переменных. Все это позволяет говорить о значительном потенциале предлагаемой методики в теоретических и прикладных исследованиях локально-неоднородных пористых структур. В то же время вопрос о связи фрактальных характеристик полученной функции с показателями исходных распределений нуждается в дополнительном исследовании.

Список литературы

- [1] *Полежаев Ю.В., Юревич Ф.Б.* Тепловая защита. М.: Энергия, 1976. 392 с.
- [2] *Поляев В.М., Майоров В.А., Васильев Л.Л.* Гидродинамика и теплообмен в пористых элементах конструкций летательных аппаратов. М.: Машиностроение, 1988. 168 с.
- [3] *Идельчик И.Е.* Справочник по гидравлическим сопротивлениям. М.: Машиностроение, 1975. 384 с.
- [4] *Федер Е.* Фракталы. М.: Мир, 1991. 254 с.
- [5] *Voss R.F.* // *Fundamental Algorithms in Computer Graphics.* Berlin: Springer Verlag, 1985. P. 805–835.
- [6] *Белов С.В.* Пористые металлы в машиностроении. М.: Машиностроение, 1981. 248 с.
- [7] *Evans M., Hastings N., Peacock J.B.* *Statistical Distributions.* 3rd edition. New York: John Wiley & Sons, 2000. 221 p.